

هيدرولوجية منطقة الناعمة- العيثة ، وتأثير الكثبان الرملية في ظروف تغذية المياه الجوفية فيها

صبار عبدالله صالح ميادة احمد كاظم لفتة سلمان صالح

جامعة تكريت- كلية العلوم- قسم علوم الارض التطبيقية

E-mail: sabbar_salih@yahoo.com

الكلمات المفتاحية : الناعمة، العيثة، كثبان رملية، تغذية المياه الجوفية، خصائص هيدرولوجية.

تاريخ القبول: 2013 / 5 / 15

تاريخ الاستلام: 2012 / 11 / 7

المستخلص:

تقع منطقة الدراسة بين خطى طول ($34^{\circ} 27' 19''$) و ($43^{\circ} 53' 23''$) و دائريتي عرض ($20^{\circ} 46' 20''$) و ($23^{\circ} 17' 44''$). شرق نهر دجلة، وتحد من الشمال بسلسلة جبال حمررين ومن الشرق بوادي الخشب ومن الجنوب ببحيرة الشاري. وهي منطقة ممتدة الشكل تبلغ مساحتها 650 كم² تقريباً، تتخللها بعض الوديان مثل وادي الحداية ووادي خر الطيرة ووادي ادماث التي تجري من الشمال والشمال الشرقي باتجاه الجنوب والجنوب الغربي باتجاه منطقة التصريف والمنتمية ببحيرة الشاري. تغطي الكثبان والصفائح الرملية أغلب أجزائها وهي التي تحدد حدودها الخارجية. حسبت المعدلات الشهرية للعناصر المناخية (الأمطار والرطوبة النسبية ودرجة الحرارة والتباخر) للفترة (1988-2011) لمحطة أنواه تكريت، حيث بلغ المعدل السنوي للإمطار (169) ملم، كذلك تم حساب معدلات التبخر-تنح باستخدام طريقة ثورنثويت، ثم حسبت الموازنة المائية للمنطقة وتبين إن هناك زيادة مائية سنوية تقدر بـ (41.35%) من كمية الساقط المطري، وقسمت المنطقة إلى خمسة أجزاء، (A, B, C, D, E) وذلك لتباين العناصر الرئيسية لموازنة المائية وبشكل خاص رطوبة التربة والجريان السطحي بين جزء وأخر، وتم حساب التغذية في كل نطاق، ويبلغ مقدار تغذية المياه الجوفية السنوي لمنطقة الدراسة $37.12 \times 10^6 \text{ m}^3/\text{year}$. درست المنطقة من الناحية الهيدرولوجية، واعتماداً على التتابع الليثولوجي الموصوف في أبار منطقة الدراسة ونتائج الضخ الاختباري تبين إن المياه الجوفية موجودة ضمن نوعين من الخزانات، النوع الأول ويتمثل بالخزان غير محصور ويقع ضمن تربات العصر الرباعي، أما النوع الثاني فيتمثل بالخزان شبه المحصور ويقع ضمن تكوين انجانه، وتم دراسة الخواص الهيدرولوجية لهذه الخزانات والتي تهدف إلى تحديد قيم معامل الناقلة المائية (T) والتوصيلية الهيدرولوجية (K) ومعامل الخزن المائي (S_c) ($1135.54 \text{ m}^2/\text{day}$) و ($73.334 \text{ m}/\text{day}$) و (0.0849) للمعاملات الثلاثة على التوالي. تم رسم خرائط لأعمق ومناسبات واتجاهات جريان المياه الجوفية، وتبيّن إن حركة المياه الجوفية فيها تكون شعاعية باتجاه الحدود الخارجية للكثبان وتتضاءل لاتجاه العام باتجاه نهر دجلة ومنطقة بحيرة شاري الملحة، أي من مناطق التغذية إلى مناطق التصريف، بينما تبيّن الدراسة أن الكثبان الرملية عملت كمصدائد لمياه الأمطار وعزّزت تغذية المياه الجوفية على حساب السيل السطحي.

HYDROGEOLOGY OF NA'MAH- AITHAH AREA, AND THE EFFECT OF SAND DUNES ON THE RECHARGE OF GROUNDWATER

Sabbar A. Salih

Lafta'a S. Kadhim

Mayyadah A. Abdulla

University of Tikrit - College of Science - Department of Applied Geology

E-mail: sabbar_salih@yahoo.com

Keywords: Na'mah, Aithah, Sand Dunes, Groundwater Recharge, Hydraulic prperitey.

Received: 7 / 11 / 2012

accepted: 15 / 5 / 2013

Abstract:

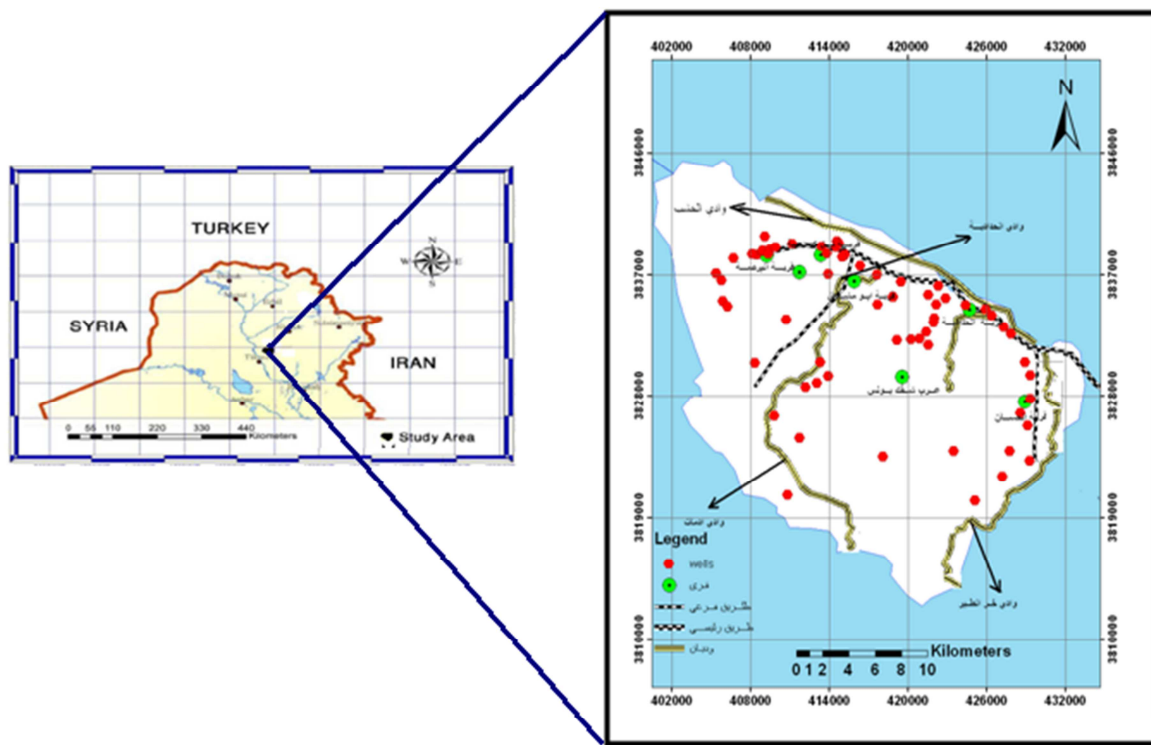
The area of study located between ($34^{\circ} 53' 23''$) and ($43^{\circ} 17' 23''$) Longitudes and latitudes ($34^{\circ} 27' 19''$) and ($44^{\circ} 17' 23''$) east of Tigris river and bordered by Hamrin Anticline from north, Al Khashib valley from east and Shari Lake from south. The climate data which recorded from Tikrit station for the period (1988-2011); The annual average of rainfall was 169 mm, also the average of evapotranspiration has been calculated according to Thornthwaite which indicates a water surplus about 41.35%. According the parameters of water balance the area divided into five zones (A,B,C,D,E). The recharge has been calculated in each parts depending on soil moisture and the surface runoff. The calculated recharge of the groundwater is about $37 \text{ m}^3/\text{year}$. Lithological description of wells, and hydraulic properties indicate two groundwater aquifers The shallow one located within Quaternary deposits which is unconfined while the deeper aquifer is semi confined and located in Ingina formation. The hydraulic properties of these aquifers calculated according to pumping test analysis, these are $1135.54 \text{ m}^2/\text{day}$, $73.334 \text{ m}/\text{day}$ and 0.0849 for transmissivity, hydraulic conductivity, and storage coefficient respectively. The flow direction of groundwater is radial from the center of sand dunes, and the main flow is to the direction of Tigris River and Shari lake depression.

الموقع والمساحة:

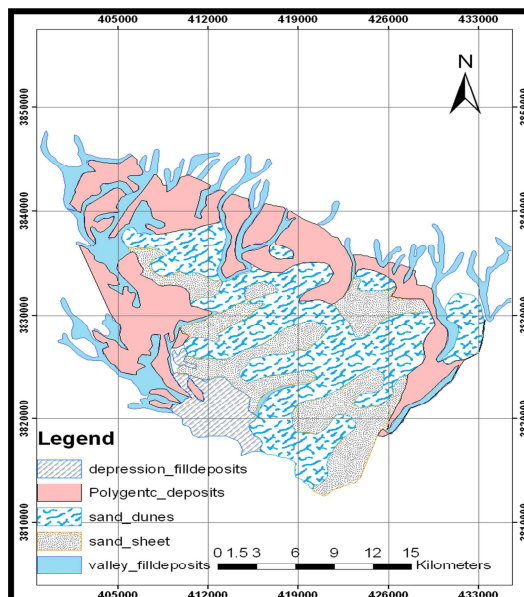
تقع منطقة الدراسة في النصف الشمالي من العراق (شكل-1) بين خطى طول (23° 53' 43") و (17° 23' 44") و دائرة عرض (34° 19' 27") و (34° 19' 27"). شرق نهر دجلة و تحد من الشمال الشرقي بجبل حمررين ومن الشرق بوادي الخشب ومن الجنوب ببحيرة الشارى، تعد الحدود الخارجية لحقول الكثبان الرملية هي حدود طبيعية لمنطقة الدراسة لما لها من علاقة بتغذية المياه الجوفية وظروفها الهيدرولوجية. وهي منطقة ممثلة بالشكل تبلغ مساحتها 650 كم² تقريباً تتخللها بعض الوديان مثل وادي الحادية ووادي خر الطيرة ووادي ادماث التي تجري من الشمال والشمال الشرقي باتجاه الجنوب والجنوب الغربي باتجاه منطقة التصريف والمتمثلة ببحيرة الشارى. تغطى الكثبان الرملية والصفائح الرملية اغلب أجزائها وتوجد سبخات ومنخفضات في الأجزاء الجنوبية منها ، ويتراوح ارتفاع سطح الأرض بين (116- 71) م فوق مستوى سطح البحر. تغطي مكافئات التكوينات الجيولوجية في منطقة الدراسة، زمناً يمتد من (Upper Miocene) إلى الوقت الحاضر والصخور المنكشفة في تلك المنطقة جميعها صخور رسوبية المنشأ، حيث تتمثل في تكوين انجانة الذي يعود إلى دورة (Upper Miocene-Pliocene) وإن الصخور وترسبات العصر الرابعى (Quaternary). المنكشفة في منطقة الكثبان والمناطق المصدرية المجهزة لها تتراوح في عمرها بين الملايينين الأسفل (Lower Miocene) الذي يكشف شرق منطقة الدراسة في الجاح الغربى لطيه حمررين إلى العصر الحديث "Recent". العمر الحديث "Recent" كما جاء في (Buday, 1980) (شكل-2).

المقدمة:

أن الموارد المائية المتاحة للاستخدام في تناقص مستمر نتيجة لزيادة معدلات الطلب المتزايد للمياه ولظروف الجفاف في العراق في العقود الأخيرة ، ولذلك أصبح لزاماً التوسع في الدراسات والأبحاث للكشف عن المياه الجوفية وظروفها الترسيبية والخزانات التي تحتوي هذه المياه من حيث المعدنية والخصائص النسيجية والمسامية والنفاذية واستثمارها والتي تحتاج إلى تحريرات متعددة لغرض التعرف على الخزین الجوفي وكيفية تجده وأسلوب استخراجه (Todd, 2005). والخزان المائي الجوفي هو عبارة عن تكوين أو جزء من التكوين أو مجموعة من التكوينات الجيولوجية ذات نفاذية ومسامية جيدة ومشبعة بالماء ولها القابلية على إمداد المياه عبر العيون أو الآبار (Walton, 1970). إن الوضع الهيدروجيولي يعتمد على الطبيعة التركيبية والجيولوجية ونوع التكوينات الصخرية وطبيعة الصخور الحاملة للمياه. وتقييم الوضع الهيدروجيولوجي لمنطقة الدراسة من خلال المعلومات الميدانية المستحصلة من القياسات والمشاهدات الحقلية للآبار الأنابيبية المحفورة من قبل شركة حفر الآبار المائية أو الشركات الأهلية. وتقييم الخواص الهيدروليكية كالتوصيلية الهيدروليكي، الناقلة، ومعامل الخزن والتي تستخدم في صياغة سياسة إدارة الخزان وكتافة الحفر، من خلال الضخ التجاري على الآبار. والتعرف على نظام الخزانات الجوفية غير المحسورة والمحسورة في المنطقة وحصر مناطق التغذية والتصريف وتحمين التصريف الطبيعي للحوض من خلال شبكة الجريان.



شكل ١-١: خارطة موقعة منطقة الدراسة موضحة عليها مواقع الأبارمحورة عن الخارطة الجيولوجية لمنطقة سامراء مقاييس 1:250.000

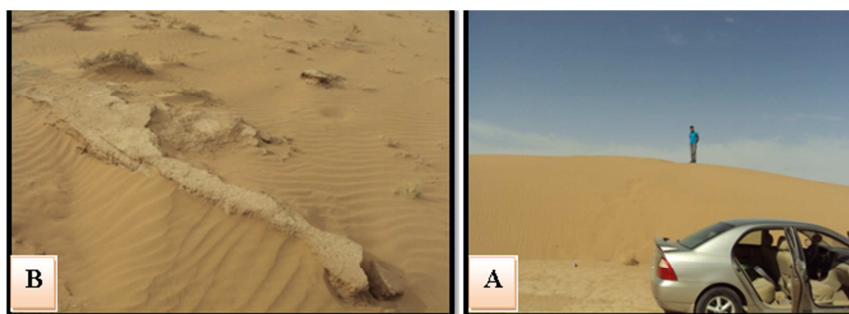


شكل 2: يمثل الخارطة الجيولوجية لمنطقة. محورة عن الخارطة الجيولوجية لمنطقة سامراء مقاييس 1:250.000

العصر الرباعي تغطي الكثبان الرملية والصفائح الرملية مناطق واسعة نسبياً تشكل غالبية منطقة الدراسة شرق وجنوب جبل حمررين لوحه (A,B) . وتكون الكثبان الرملية من نوع البرخان ذات أحجام وارتفاعات تتراوح من 2-2.5 متر وت تكون الصفائح الرملية من الرمل ناعم الحبيبات مخلوط مع الطين وبسمك يصل الى 20-30 سم.

جيومورفولوجية وطبوغرافية المنطقة:

من أهم الظواهر الجيومورفولوجية في منطقة الدراسة وجود الكثبان الرملية والتي تكون من نوع البرخان أو الهلالية تتميز منطقة الدراسة بوجود نوعين من أنظمة الوديان، الأول هي أنظمة الوديان الشجيرية ، والأخر هو أنظمة الوديان المتوازية. وتكون ذات نهايات سريعة بسبب النافذة العالية للطبقات السطحية. (Hamza, 1990). تجري هذه الوديان نحو الجنوب والجنوب الغربي، وفروعها تكون ذات شبكة تصريف شجرية. تتأثر شبكة التصريف بالوضع الترکيبي، والتضاريس، والتركيب الصخاري، بالإضافة إلى المناخ. وان الوديان الرئيسية تتبع المضرب الطبقي العام للطبقات غالباً، وهي ذات مجاري ضيقة وعميقة في الجزء الشمالي من المنطقة، ثم تصبح أوسع نحو الجنوب.



لوحة A-1 : يبين ارتفاع الصفائح الرملية في منطقة الدراسة. لوحة B : يبين ارتفاع الكثبان الرملية.

تكوين انجانه:

عمر هذا التكوين المايوسين المتأخر ويقسم التكوين إلى عضوين رئيسيين (Hamza,, et. al.1990) هما:-

العضو السفلي: يتكون من تعاقب طبقات الحجر الطيني والحجر الغريني والحجر الرملي مع وجود طبقات قليلة السمك (20-40) سم ودعاسات من السيلانيات وسمك هذا العضو في تركيب حمررين يزداد بصورة تدريجية من الشمال الغربي إلى الجنوب الشرقي.

العضو العلوي: يتكون من تعاقب طبقات الحجر الرملي والحجر الطيني المنكسرة وطبقات الحجر الغريني ذات السمك القليل (الجنابي، 2008).

ترسبات العصر الرباعي:

قام (Jassim,1981) بدراسة لترسبات العصر الرباعي في المنطقة المحصورة من بيجي وحتى جنوب سامراء ووجد بأن ترباتها تتكون من فئات من الرمل والحسى الناعم الغني بالفقات الجبسي في المناطق البعيدة عن النهر في حين شخص عدد من الشرفات النهرية على ارتفاعات مختلفة عن مجرى نهر دجلة كذلك وجد بعض الطبقات الحصوية السميكة التي تكونت في المراحل الأخيرة من

بئر باستخدام جهاز (GPS) System وتم قياس أعمق المياه الجوفية في هذه الآبار في شهر (نوفمبر الأول، 2011) وفي نهاية شهر آذار من سنة 2012 تم إجراء عملية الضخ الاختباري على بئر نهار بدر وبئر طالع هليل جدعان. (لوحة-2) تبين إجراء عملية الضخ الاختباري في بئر طالع هليل. استخدام برنامج (Surfer) في رسم الخرائط الكترونية الخاصة بمتاسب سطح الأرض ومناسب وأعمق المياه الجوفية، وشبكة الجريان. تم رسم الخرائط باستخدام برنامج Arc GIS، حيث تم تسقيط موقع الآبار، وكذلك استخلاص الخريطة الجيولوجية لمنطقة الدراسة، ومنظومة التصريف، وتصحيح الخرائط هندسيا وإخراجها بشكلها النهائي. اعتمد برنامج (Aquifer Win 32) في أيجاد المعاملات الهيدروليكيه (T) و (Sc) و (K) للمكمن الجوفي الرئيسي في منطقة الدراسة والذي يعد خزان غير محصور، اعتماداً على البيانات الحقيقة للضخ الاختباري.



A- عملية قياس تصريف بذر الضخ (طاعل هليل) عند تنفيذ تجربة الضغط الاختباري

B- عملية قياس منسوب المياه الجوفية بواسطة Sounder.

وفي حالة عدم المساواة فإن التغير في حالة النقصان أو
الزيادة يمثل التغير في خزين المياه السطحية والجوفية
الذي يعبر عنه بالمعادلة الآتية Domenico & Schwartz (1998))

(Input – Output = change in storage(2)
 يمثل الفرق بين الداخل والخارج بالتغير في الخزين (ΔS)، وأن الأمطار تمثل مصدر مدخلات التغذية الطبيعية، الزيادة المائية تعني زيادة سقوط الأمطار على التبخر- نتح الكامن حسب المعادلات Hassan & AL- Ansari, 1976

$$\text{اذا } P = \text{الامطار (ملم)}$$

$\text{PEc} = \text{تبخر} - \text{نتح الكامن}$ (ملم)

التبخر - نتح الحقيقی (ملم) AE=

$$\text{الزيادة المائية (ملم)} = W_s$$

= الجريان السطحي (ملم) Ro

Re = التغذية الجوفية (ملم)

تنفيذ التجربة:

تم اعتماد الموازنة المائية المناخية، ودراسة العناصر المناخية المهمة التي تتصف بها المنطقة ، والتعرف على خصائصها، بالإضافة إلى ظروف الجريان السطحي في الحوض لتخمين الزيادة المائية وبالتالي حساب تغذية المياه الجوفية. تم دراسة المعلومات الجيولوجية الجيومورفولوجية بالاعتماد على الخارطة المتوفرة بمقاييس (1:25000) عن منطقة الدراسة ومن ثم تهيئة الخرائط الجيولوجية لمنطقة الدراسة. تم القيام بجولة استطلاعية أولى لمنطقة الدراسة في شهر أيار 2011، للتعرف على الظواهر الجيومورفولوجية والمكافش الصخرية للتكتونيات الجيولوجية وملاحظة الوديان الرئيسية والفرعية وتحديد موقع عدد من الآبار التي أجريت عليها القياسات الحقلية. وقد تم توثيق بعض الظواهر بالصور بوصفها شواهد على صحة بعض الحقائق المطروحة في البحث. تم تحديد إحداثيات (58)



حساب تغذية الماء الحافظة.

جزء من الفترة الرطبة وتمثل الزيادة المائية ما مقداره (69.89) ملم من الإمطار السنوية والبالغة (169.01) ملم التي تساوي (41.35%) (جدول-1).

$$(WS\%) = (Ws/P) * 100 \quad \dots \dots \dots \quad (7)$$

$$\square = 100 = 41.35\% \quad 169.01 / 169.89 \quad (8)$$

إما فترة النقصان التي تكون فيها الإمطار أقل من التبخر- نتح الكامن وبهذا فإن قيم التبخر- نتح الحقيقي تكون متساوية للأمطار.

$$(P < PE \dots \dots \dots Ws = 0) \quad (9)$$

$$P = AE \quad \dots \dots \dots \quad (10)$$

$$(Wd = PE - P) \quad \dots \dots \dots \quad (11)$$

إذ ان

Wd = النقصان المائي وتمثل هذه المدة الأشهر من مايس إلى تشرين الأول وكما في الجدول.

$$(Wd\%) = (Wd / p) * 100 \quad \dots \dots \dots \quad (12)$$

= رطوبة التربة (ملم)

يتناقص معدل الترشيح تدريجيا مع استمرار ترشيح مياه الإمطار إلى نطاق التربة، ويمكن أن يحدث الجريان السطحي في أي وقت تكون فيه الشدة المطرية أعلى من معدل الترشيح؛ أي قبل اكتمال محتوى رطوبة التربة ووصول سعتها إلى مستواها النهائي Domenico & Schwartz, 1998 (Castany, 1963)). ويمكن إهمال دور رطوبة التربة في حسابات الزيادة المائية عندما تكون التربة رملية حصوية أو صخريّة (Schwartz, 1998)، ولذلك أهملت في حسابات الموازنة المائية للدراسة الحالية، لتصبح المعادلة بالشكل التالي:

$$(Ws=Ro + Re) \quad \dots \dots \dots \quad (6)$$

وتمثل الأشهر تشرين الثاني وكانون الأول وكانون الثاني وشباط مدة الزيادة المائية في منطقة الدراسة التي هي

جدول-1: قيم المعدلات الشهرية للساقط المطري والتبخر النتحي والزيادة والنقصان المائي للفترة (2011-1988)

Months	P(mm)	PE _C (mm)	AE(mm)	Ws(mm)	Wd(mm)
OCT	12	84.90	12	0	72.9
NOV	24.1	23.97	23.97	0.13	0
DEC	26.5	7.88	7.88	18.62	0
JAN	34.3	4.96	4.96	29.34	0
FEB	31.1	9.30	9.30	21.8	0
MAR	25.4	28.25	25.4	0	2.85
APR	14.3	70.34	14.3	0	56.04
MAY	5.2	152.29	5.2	0	147.09
JUN	0.06	231.49	0.06	0	231.43
JUL	0	274.61	0	0	274.61
AUG	0	260.84	0	0	260.84
SEP	0.6	161.85	0.6	0	161.25
المجموع السنوي	169.1	1310.67	103.67	89.69	1207.1

الخزانات الحاملة للمياه في منطقة الدراسة:

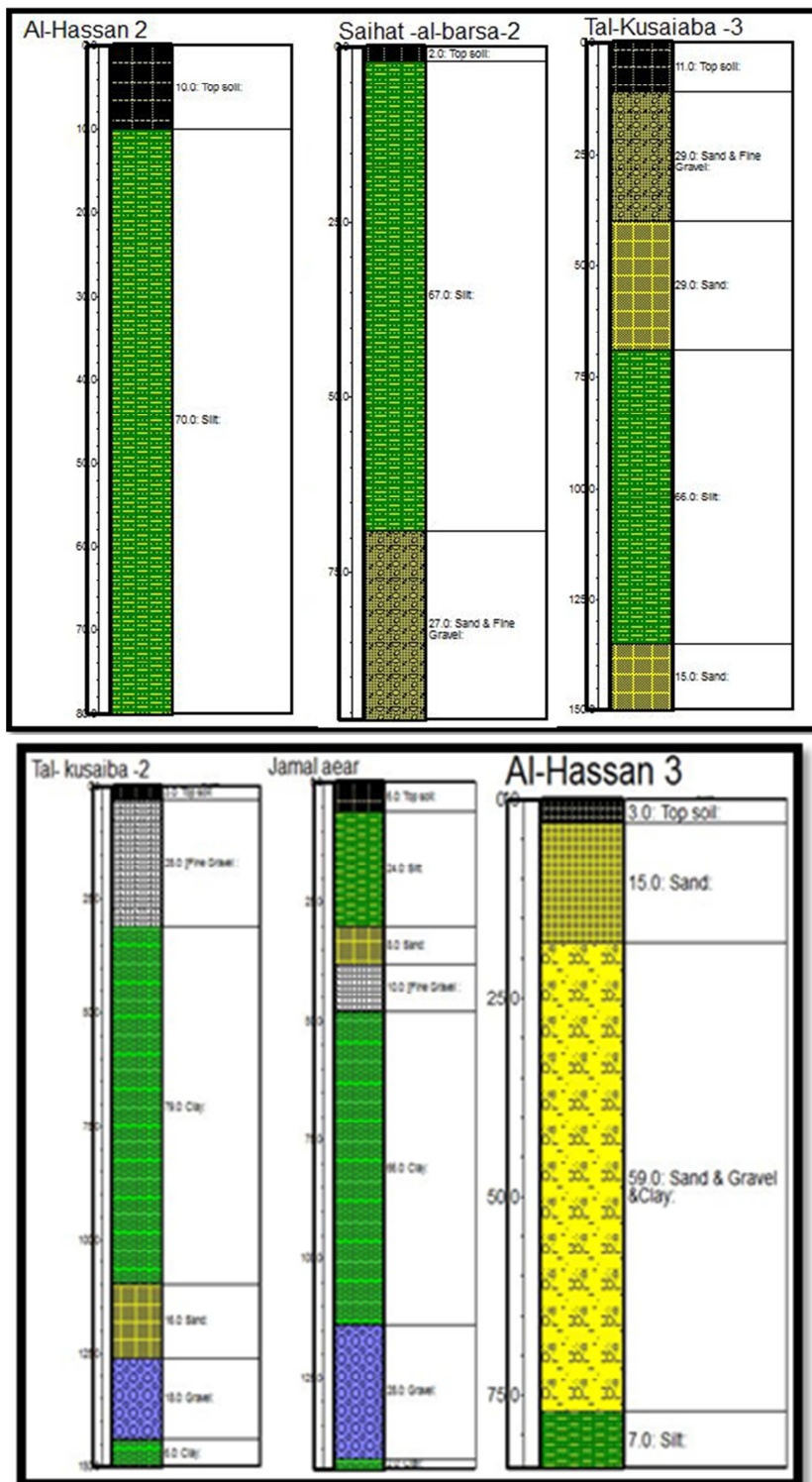
من خلال دراسة الوصف الليثولوجي للأبار المحفورة في المنطقة، والذي تم الحصول عليه من الهيئة العامة للمياه الجوفية، إذ تم إدخال بيانات الوصف الليثولوجي للأبار إلى برنامج Rockwork 2004 لرسم المقاطع الليثولوجية للأبار (شكل-3)، وإجراء مصاهاة بين تلك الآبار شكل (4) وكذلك رسم موديل ثلاثي الأبعاد للتكتونيات الحاملة للماء في منطقة الدراسة (5) ومن دراستها تبين إن معظم الرسوبيات مكونة من الرمل والطين والسلس والحصى أحياناً، حيث تتراوح سمك طبقات الـ Sand من (54-9) (69-17) (46-38) (Gravel) والـ Clay من (10-70) (sand&gravel&clay) والـ Silt من (10-18) (55-55) متر. لوحظ إن طبقات الحصى والحصى الرملي التابع للعصر الرابعي تكون فوق منسوب المياه الجوفية في معظم الآبار الموصوفة في منطقة الدراسة. إن طبقات الطين التي تعلو منسوب المياه الجوفية سمحت

الحدود الهيدرولوجية:

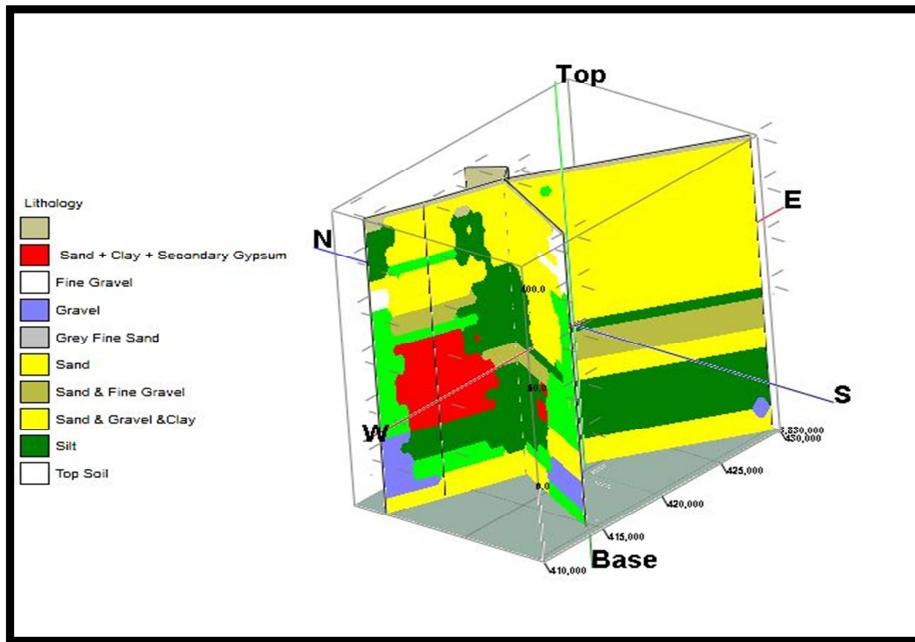
تتألف المنطقة من تتابع طيفي جيد من الناجحة الهيدروجيولوجية والمواصفات الهيدرولوجية، فترسباتها مواد فاتتية رملية سلته مناسبة لحزن المياه الجوفية تتخللها طبقات حاصره. وتحاط المنطقة من جميع الجهات بالوادي والكتبان الرملية والتي عملت كحدود هيدرولوجية مثل وادي الخشب والذي عمل كحد من جهة الشرق ومن الشمال الغربي بالوادي والترسبات المتعددة الأصول ومن الجنوب ببحيرة الشاري، تعد الكتبان الرملية والصفائح الرملية الموجودة في المنطقة مناطق تغذية مباشرة للمياه الجوفية بسبب نفاديتها العالية حيث ينعد فيها الجريان السطحي وتعد مرتفعات حمررين منطقة تغذية المياه الجوفية بمياه الأمطار الساقطة عليها، في حين تعد بحيرة الشاري منطقة تصريف للمياه الجوفية، وتمثل التراكيب تحت السطحية حدوداً هيدروجيولوجية تؤثر في نمط جريان المياه الجوفية فيها.

(Joints)، أو تكسيرات ساعدت في إيجاد مسامية ثانوية فعالة ساهمت في التواصل الهيدروليكي بين الطبقات الخازنة للمياه الجوفية. تم تحديد التكوينات الحاملة للمياه والمتمثلة بخزانين هما خزان روابسب العصر الرباعي الثنائي وخزان تكوين انجانه الذي يعد الخزان الرئيس في منطقة الدراسة، وفي ما يلي شرح لكل منها.

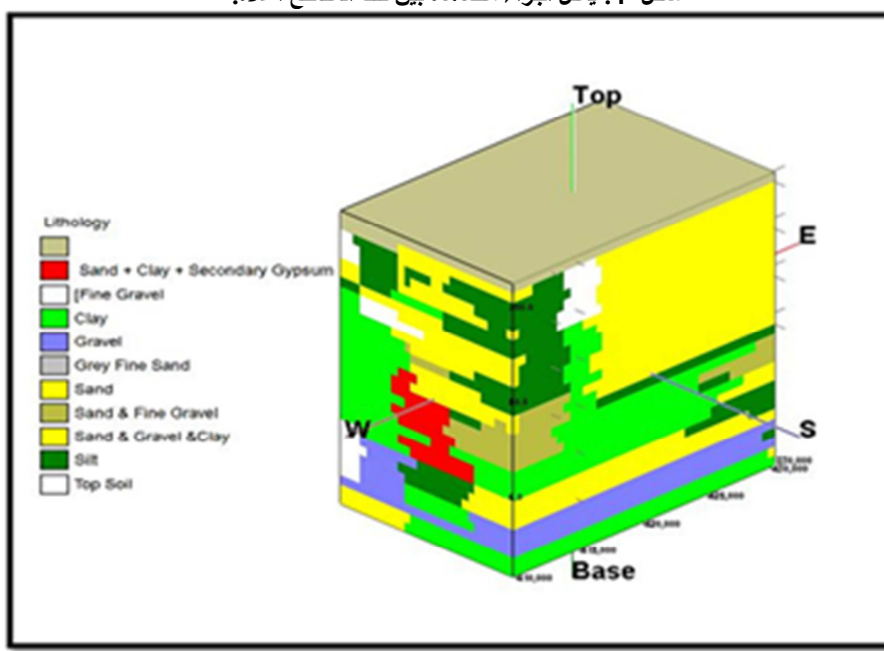
بتغلغل مياه التغذية إلى الخزانات التي تقع تحتها بدليل إنها لم تكون خزانات موضعية معلقة (Perched)، حيث لم يلاحظ وجود مناسبيب ضحلة في جميع الآبار التي رصد فيها المنسوب وهذا يعود إلى احتوائها على نسبة من السلت وان وصفها لم يستند إلى تحليل نسيجي دقيق ولذلك تعد خزانات راشحة (Leakey)، أو لوجود فواصل



شكل-3: المقاطع الليثولوجية لآبار منتخبة في منطقة الدراسة بالاعتماد على الهيئة العامة للمياه الجوفية



شكل 4: يمثل اجراء مضاهاة بين تلك المقاطع اعلاه.



شكل 5: يمثل مодيل ثالثي الابعاد للتكتونيات الحاملة للماء في منطقة الدراسة.

الأخرى لنفس السبب، وتكون طبقات الصخور الرملية لهذا التكوين مشبعة بالماء وذات نفاذية عالية. ويبلغ سمك تكوين انجانة حوالي (440–500) متر، ويمكن اعتباره خزان متعدد الطبقات الحاملة للمياه (Multi water bearing horizon) الذي هو مكون من مجموعة خزانات مائية (Aquigroup)، بسبب وجود وحدات صخرية نفاذة وغير نفاذة (العاني، 1997)، والآبار التي تخترق هذا التكوين تأخذ من طبقات محصورة، ولكنها غير متدفقة (Non Artesian Flowing Wells) إذ إن مستوى الماء لا يصل إلى فوهة البئر، وذلك اعتماداً على الضغط الهيدروستاتيكي، ولذلك تستعمل المضخات على مثل هذه الآبار.

خزان تكوين انجانة:

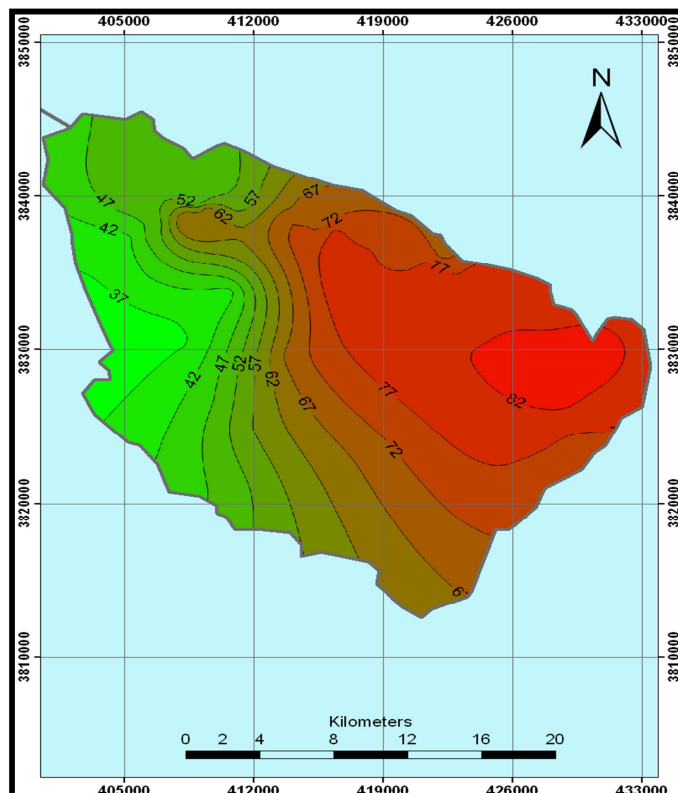
بعد تكوين انجانة الخزان الرئيسي في منطقة الدراسة، ويعود هذا التكوين إلى عصر المايوسين الأعلى – البلايوسین (Upper Miocene Pliocene)، ويتتألف من تعاقب طبقات الحجر الرملي، والحجر الطيني والحجر الغريني، ويكون الخزان محصوراً مع وجود بعض الاتصال الهيدروليكي في أجزاء الخزان لكون الطبقات الطينية التي تفصل بين طبقات الخزان نفسه من نوع الّحاوي على التكسارات fractured بالإضافة إلى وجود الفوالق المحلية أو الإقليمية العميقة (Jassim and Goff, 2006)، وهذا الاتصال يحدث أيضاً مع التكتونيات

مناسيب المياه الجوفية:

تم قياس ارتفاع سطح الأرض (فوهة البئر) عن مستوى سطح البحر باستخدام جهاز تحديد الموضع العالمي (GPS) Garmin 12 (Global Positional System) نوع (Global Positional System) (Garmin 12) تم قياس عمق الماء عن مستوى سطح الأرض بواسطة جهاز قياس المناسيب groundwater table detector ، وطرحه من ارتفاع سطح الأرض عن مستوى سطح البحر. فتراوحت مناسيب المياه الجوفية في الآبار من (36.6185.48) م فوق مستوى سطح البحر، كما تم تحديد إحداثيات مواقع الآبار وأدخلت بيانات الإحداثيات والمناسيب للأبار في برنامج SURFER-8 لرسم الخرائط الكترونية لتساوي المناسيب للأبار عن مستوى سطح البحر كما في (شكل-6). إذ نلاحظ فيها منطقة التغذية في الوسط نتيجة كثافة الكثبان حيث أعلى مناسيب للمياه الجوفية، ثم تحدى المناسيب باتجاه إطراف منطقة الدراسة وبشكل شعاعي، علماً أن الاتجاه العام للحركة باتجاه الشمال الغربي والجنوب (منطقة تصريف).

الخزان الجوفي ضمن تربات العصر الرابع:

تغطي تربات العصر الرابع أغلب المناطق في منطقة الدراسة والمناطق المحيطة بها، وتتألف من تربات مختلفة كالرمال والحصى والغرن والأطيان. تواجد الآبار المحفورة ضمن هذه التربات في الأجزاء الشرقية والجنوبية من منطقة الدراسة، وهي آبار غير عميقية في الغالب حيث يكون منسوب الماء الجوفي فيها قريب من السطح إذ تتميز هذه التربات بتكونيتها من حبيبات ناعمة رملية غربنية صلصالية. وبهذا فنفاذيتها على العموم تكون أوطأ من رسوبيات النوع الأول. ونظراً للانتشار المحدود لهذه التربات فإن وجود المياه الجوفية فيها يكون على أعماق ضحلة وفي حالة حرة. إن هذه الظروف تساعد على زيادة تركيز الأملاح فيها؛ لذا فإنه من المتوقع أن تكون غالبية المياه الجوفية في هذه الرسوبيات غير صالحة للشرب أو للزراعة نظراً لارتفاع تركيز الأملاح فيها (Parson, 1955).

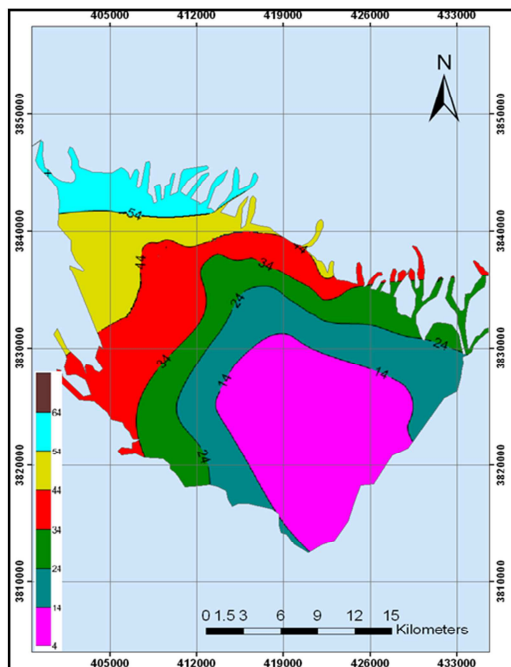


شكل-6: يمثل خريطة خطوط تساوي الجهد اعتماداً على قراءات المناسيب في الآبار.

الحوض الجوفي (شكل-7). حيث تقل أعماق المياه في منطقة الدراسة في منطقة الجنوب كونها منطقة تصريف والوسط كونها منطقة تغذية وكثافة الكثبان الرملية وانعدام الجريان السطحي فيها وبذلك تذهب كل مياه الأمطار لتغذية جوفية. وترأوحت أعماق المياه الجوفية في منطقة الدراسة من (4.62_61.76) متر.

عمق المياه الجوفية:

قيست أعماق مناسيب المياه الجوفية عن سطح الأرض في منطقة الدراسة، باستخدام محس تحديد أعماق المناسيب، ثم رسمت خريطة تغير أعماق المياه الجوفية من خلال معلومات الآبار التي تغطي معظم مساحة



شكل-7: خريطة اعمق المياه الجوفية عن مستوى سطح الارض بناء على البيانات المستحصلة من الآبار.

والأراضي المنخفضة مناطق تصريف (discharge) عندما لا توجد تضاريس أو تراكيب معقدة .

التصريف الطبيعي للمياه الجوفية:

يعتمد التصريف الطبيعي للمياه الجوفية على فرق انحدار سطح المنسوب بين مناطق التصريف والتغذية، ومن العوامل التي تحكم باتجاهات التصريف تباين التغذية في الحوض وخواصه الرسوبيّة والطبوغرافية، والاهم من ذلك تباين الخواص الهيدروليكيّة للصخور الخازنة والناقلة للمياه الجوفية، إن التصريف الطبيعي للمياه الجوفية في الحوض يمثل مجموع التصارييف في قنوات الجريان وعدها 25 قناة (شكل-6)، أي إن :

$$(12) \quad Q = q_1 + q_2 + q_3 + q_4 + \dots + q_{18}$$

ومن قانون دارسي فإن

$$(13) \quad Q = K \Delta h b p / n$$

حيث: K : التوصيلية الهيدروليكيّة / يوم، حسبت قيمة K من خلال تجارب الضخ الاختباري بطرق ثايس وجاكوب وثايس لعودة المنسوب في أربعة آبار منتخبة ومن ثم استخرجت القيمة من خلال المعدلات للطرائق الثلاثة $K = 73.334$ م/يوم.

Δh : الفرق بين قيم المنسوب (head) بين أعلى وأدنى خط تساوي جهد = $37.75 - 37.334 = 0.45$ م.

b: السمك المشبع للخزان، بحسب معدل السمك منتجًا بالضخ الاختباري ومعلومات آبار المراقبة ومعلومات الآبار الأخرى المحفورة في المنطقة = $37.75 - 37.334 = 0.45$ م

P: عدد قنوات الجريان = 25

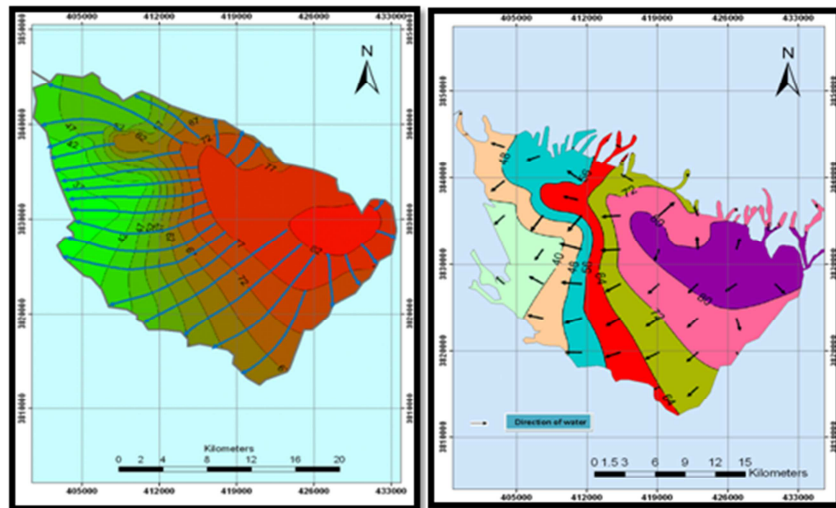
n: معدل عدد الخلايا في قنوات الجريان = 6

$$Q = 73.334 * 0.45 * 37.75 = 518984.16 \text{ m}^3/\text{day}$$

حركة المياه الجوفية وشبكة الجريان:

استخدم البرنامج SURFER-9 لرسم خريطة اتجاهات الانحدار لمنسوب المياه الجوفية (شكل-6)، وستستخدم هذه الخريطة لاحقًا لتسهيل رسم شبكة الجريان، تم حساب معدل الانحدار الهيدروليكي في موقع منتخبة في منطقة الدراسة فقد بلغ معدل الانحدار الهيدروليكي شمال منطقة الدراسة (0.0021)، أما في الجزء الجنوبي الغربي من منطقة الدراسة فقد بلغ بحدود (0.0017)، والجزء الوسطي وقد يعود سبب تباين هذا الانحدار وز بيته في 0.005 الجزء الوسطي، إلى وجود تغذية للمياه الجوفية غير اعتيادية بسبب كثافة الكثبان الرملية في هذا الجزء والتي تعمل كمصددة للمياه الجوفية.

للغرض معرفة اتجاه حركة المياه الجوفية وتصريفها الطبيعي في منطقة الدراسة، رسمت خريطة مناسبات المياه الجوفية (Groundwater Level Map) التي تمثل خريطة كنторية لخطوط تساوي ارتفاع مستوى المياه الجوفية عن مستوى سطح البحر أي خطوط تساوي الجهد (Equipotential Lines)، وبذلك يكون اتجاه حركة المياه في أي نقطة هو الاتجاه العمودي على خطوط تساوي الجهد، ورسمت خطوط الجريان بشكل عمودي على خطوط تساوي الجهد مع مراعاة ان تكون المساحات المحصوربة بين خطوط تساوي الجهد وخطوط الجريان على شكل مربعات قدر المستطاع. ومن ملاحظة (الشكل-8) وجد أن اتجاه حركة المياه الجوفية يكون باتجاه إطراف منطقة الدراسة مع الانحدار يزداد باتجاه الجنوب والجنوب الغربي، وهذا الاتجاه يتوافق مع اتجاه شبكة التصريف السطحية (الواديان) والميل الطبوغرافي للأرض، كما يتماشى مع المفاهيم الجيولوجية إذ بعد الباحثين الأرضي في منطقة الوسط والمتمثلة بالكثبان الرملية مناطق تغذية (recharge) عموماً



شكل-8: خريطة اتجاهات الانحدار لمنسوب المياه الجوفية (إلى اليمين)، وشبكة الجريان إلى اليسار.

وبالتالي حساب الزيادة أو العجز المائي على المستوى الشهري وحساب مجموع الزيادة المائية السنوية (جدول-1) تبين إن مقدار W_s السنوي (مجموع الزيادة المائية للأشهر من ت-2-شباط) هو 69.89 ملم وبما إن

$$Re = W_s = 69.89 \text{ mm}$$

$Re\% = (W_s/P) * 100 = 69.89 / 169.1 * 100 = 41.33\%$ أي 41.33% من مياه الساقط المطري تتغفل لتغذية المياه الجوفية في منطقة الدراسة عند الجزء A، الذي تبلغ مساحته 202.17 km^2 وبذلك يكون حجم الماء الذي يغذي المياه الجوفية في هذا الجزء:

$$\text{مساحة الجزء} * (69.89 / 1000) = 202.17 * 10^6 * 69.89 / 1000 = 14.13 * 10^6 \text{ m}^3/\text{year}$$

النطاق الثاني:

يتمثل هذا الجزء بالصفائح الرملية التي يتراوح سمكها من 20-30 سم تغطي مساحات واسعة من منطقة الدراسة في الأجزاء الوسطى من منطقة الدراسة محاطة بالكتبان الرملية كذلك يتميز هذا النطاق بعدم وجود أنظمة تصريف سطحية وعدم وجود المستطحات الفيضية وأهملت رطوبة التربة وبالتالي فإن مياه الساقط المطري سوف تترush إلى مستويات المياه الجوفية كما في النطاق A عندها يمكن كتابة معادلة موازنة المائية في هذا النطاق على النحو التالي :

$$P - AE = W_s = \text{Change in Storage} = Re \dots \dots \dots \quad (15)$$

وبالتالي فإن

$$Re = W_s = 69.89 \text{ mm}$$

$Re \% = (W_s/P) * 100 = 69.89 / 169.1 * 100 = 41.33\%$ أي 41.33% من مياه الساقط المطري تتغفل لتغذية المياه الجوفية في المنطقة عند الجزء B.

وبذلك يكون حجم الماء الذي يغذي المياه الجوفية في هذا الجزء الذي مساحته الكلية 116.03 km^2

$$Re = (69.89 / 1000) * 116.03 * 10^6 = 8.11 * 10^6 \text{ m}^3/\text{year}$$

تقسيم الحوض لغرض احتساب تغذية المياه الجوفية:

بعد دراسة الخرائط الجيولوجية، والإطلاع على سجلات الآبار المحفورة في المنطقة والحصول على المعدلات الشهرية العامة لعنصر الساقط المطري ودرجة الحرارة لمدة من (1988-2011) لمحطة تكريت، تم حساب قيم التبخر-نتح الكامن PE حسب طريقة ثورثويت المذكورة تفاصيلها آنفا ثم حساب قيمة الزيادة المائية WS لاحظ (الجدول-1)، لغرض تحديد كمية المياه المتغفلة إلى مستويات المياه الجوفية حيث تم تقسيم الحوض إلى خمسة أجزاء A، B، C، D، E وهي نطاق الكثبان الرملية والصفائح الرملية والتربة ذات الأصول المتعددة والمنخفضات المعلوّة بالترسبات والوديان شكل (10) وذلك لتباين العناصر الرئيسية لمعادلة موازنة المائية وبشكل خاص رطوبة التربة والجريان السطحي بين جزء A وأخر. لذلك سيتم تحديد مقدار تغذية المياه الجوفية (Re) أيضا لكل جزء.

النطاق الأول:

يمثل الجزء الوسطى من الحوض وتشكل أكبر الانطاق، يتميز بعدم وجود أنظمة تصريف سطحية لمياه الساقط المطري وعدم وجود مساحات لمناطق فيضية (Flood Area) وإن وجدت فإنها توجد بشكل مساحات صغيرة جداً بحيث يمكن إهمالها، وأهملت رطوبة التربة لأن المنطقة تغطي بالكتبان الرملية وبالتالي فإن مياه الساقط المطري سوف تترush إلى مستويات المياه الجوفية عندها يمكن كتابة معادلة موازنة المائية في هذا النطاق على النحو التالي:

$$P - AE = WS = \text{Change in Storage} = Re \dots \dots \dots \quad (14)$$

حيث

$$Re = \text{تغذية المياه الجوفية}$$

$$WS = \text{الزيادة المائية}$$

بعد إجراء حسابات التبخر-نتح الكامن ومن ثم التبخر-نتح الحقيقي ومقارنتها مع معدلات الساقط المطري الشهري

النطاق الثالث:

يتمثل بالترابة ذات الأصول المتعددة ويشمل الجزء الشمالي والشمالي الشرقي من الحوض ويتميز بوجود مساحات كبيرة لمناطق فيضية (Flooding Area)، وتظهر فيه أنظمة التصريف السطحي من النوع الشجري (Dendritic) تصل إلى الرتبة الثانية، وبالتالي فإن هذه الوديان تصب في المناطق الفيضية داخل الحوض وتساهم في تغذية المياه الجوفية والمنطقة مغطاة بترسبات العصر الرباعي غالبيتها من نوع الشرفات النهرية (river terraces) فضلاً عن وجود المناطق الفيضية بعد الارتفاع على سجلات الآبار في هذه المنطقة (الهيئة العامة لحفر الآبار المائية - صلاح الدين) تبين إن رواسب العصر الرباعي والتي تغطي هذا النطاق التي تعلوها تربة بعمق لا يزيد عن (25) سم لا تمثل مكمنا مائياً، وبالتالي فهي تمثل نطاقاً انتقالياً لترشيح مياه الأمطار إلى مكمن انجانه الواقع أسفلها، عندها ستضاف قيمة رطوبة التربة Soil Moisture (SM) إلى مخرجات معادلة الموازنة المائية في هذا النطاق والتي يمكن كتابتها على النحو التالي:

وبالتالي يجب طرح مقارن من كمية الساقط المطري على هذا القطاع لإشباع هذه الطبقة كشرط لتغذیل المياه إلى مستوى المياه الجوفية فيه. إلا أن رطوبة التربة كرقم في هذا الحوض مجهولة وذلك لعدم توافر دراسات سابقة تتناولت هذا الجانب، و بعد الاطلاع على العديد من الدراسات العراقية على ترب مشابهة في أحواض العظيم، ديالى، والزاب الأسفل تبين إن كمية المياه المطلوبة لإشباع 100 سم من (الترابة والرواسب) تساوي 100 ملم، وبما أن عمق هذه الطبقة في منطقة الدراسة لا يتجاوز (25) سم كما تم ذكره، لذلك اقررت قيمة $SM=25$ ملم، عندها سيكون مقدار تغذیة المياه الجوفية كما يلى:

$$\begin{aligned} W_s &= Re + SM \\ 69.89 &= Re + 25 \\ Re &= 44.89 \text{ mm} \\ Re \% &= 44.89 / 169.1 * 100 = 26.55\% \\ \text{أي إن } 26.55\% &\text{ من كمية الساقط المطري تتغلغل لتغذية المياه الجوفية في هذا الجزء من الحوض. وبذلك يكون حجم الماء الذي يغذي المياه الجوفية في هذا الجزء والذي تساوي مساحته الكلية } 178.62 \text{ كم}^2. \end{aligned}$$

النطاق الرابع:

يمثل هذا النطاق أصغر الأنطاق مساحة في منطقة الدراسة ويمثل المنخفضات المملوءة بالترسبات حيث تمثل هذه المنخفضات مناطق لتجمع مياه الأمطار والسيول؛ وهي إما أن تكون ذات أصل طبيعي تكونت نتيجة الظروف الجيولوجية الطبيعية والعوامل

الترسيبية، أو إنها ذات أصل صناعي كالقوى الاروائية الناتجة من النشاط البشري.

إن روابض العصر الرباعي والتي تغطي هذا النطاق التي تتخطوها تربة بعمق لا يزيد عن (25) سم لا تمثل مكمناً مائياً، وبالتالي فهي تمثل نطاقاً انتقالياً لترشيح مياه الأمطار إلى مكمن انجانه الواقع أسفلها، عندها ستضاف قيمة رطوبة التربة Soil Moisture (SM) إلى مخرجات معادلة الموازنة المائية في هذا النطاق والتي يمكن كتابتها على الشكل التالي:

$$69.89 = \text{Re} + 25$$

$$Re = 44.89 \text{ m}$$

أي إن 26.55% من كمية الساقط المطري تتغلغل للتغذية المياه الجوفية في هذا القطاع من الحوض. وبذلك يكون حجم الماء الذي يغذي المياه الجوفية في هذا الجزء الذي تساوي مساحته الكلية

$$Re = (44.89 / 1000) * 31.67 * 10^6 = 1.42 * 10^6$$

m^3 / year

النطاق الخامس:

يتمثل هذا النطاق بالوديان ضمن منطقة الدراسة، والتي تكون ذات نمط شجري وتتوزع ضمن نطاق الصفائح الرملية والترسبات متعددة الأصول في الأجزاء الشمالية الشرقية والشمالية الغربية من المنطقة وتأتي هذه الوديان بال المياه من خارج منطقة الدراسة وتكون المنطقة عبارة عن ممر لهذه الوديان.

بالإضافة إلى العوامل المائية، فإن التغير في حجم التخزين يمكنه تأثير على التدفق السطحي (Runoff)، حيث ينبع التدفق السطحي من التغير في حجم التخزين.

لقد بين وصف هذا القطاع أن مقدار (W_s) يتكون من الأجزاء التالية :

$$W_s = Re + SM + Ro$$

عنصر السبيل السطحي

(surface runoff) مطلوب حسابه أو تقييمه لهذا القطاع من الحوض، أما قيمة رطوبة التربة فقد قدرت من القطاع C بـ 25 ملم والتي يمكن اعتمادها لهذا القطاع أيضاً. استخدمت الطريقة المقترنة من قبل (Diary, 2008) لتتخمين السيل السطحي (ملم) من مجموع التساقط السنوي (Curve Number CN) بدالة رقم المنحنى (ملم) حيث اقترح منحنى معين لكل نوع من أنواع التربة أو الصخور أو غيرها من أنواع الغطاء الأرضي، وهذه المنحنيات تمثل مخططاً لتتخمين السيل السطحي بشكل مباشر من خلال المخطط في (شكل-9). اختر المنحنى رقم 17 الذي تم إمارره أسفل منحنى رقم 20، ليمثل التربة في منطقة الدراسة التي تتكون من مزيج من الرمل

$$Re\% = 41.33$$

أي تقريباً 41.33% من الساقط المطري على القطاع C يتغذى لتغذية المياه الجوفية فيه وبذلك يكون حجم الماء الذي يغذي المياه الجوفية في هذا الجزء هو:

$$Re = (44.89 \text{ mm}/1000) * 121.21 * 10^6 = 5.44 * 10^6 \text{ m}^3/\text{year}$$

يلاحظ وبشكل واضح تباين قيم تغذية المياه الجوفية على امتداد الحوض من القطاع A إلى D وما هو إلا انعكاس لنوع نسيج وسمك التربة السطحية، أما نظام التصريف السطحي طوبوغرافية المنطقة فكانا غير فعالين في منطقة الدراسة. وبذلك يكون مقدار تغذية المياه الجوفية السنوي لمنطقة الدراسة البالغة مساحتها (618) كم²

$$Re = 37.12 * 10^6 \text{ m}^3/\text{year}$$

والغرين والطين وقليل من الحصى الذي يعود إلى ترسيات العصر الرباعي. تم تحويل المجموع السنوي للأمطار إلى وحدات (انج) لينسجم مع وحدات المخطط، ومن ثم تخمين السيل بالانج ثم تحويله ثانية إلى ملم، ومن ثم إجراء بقية الحسابات، وفق المنحنى المنتخب رقم (17) فإن السيل السطحي يحدث فقط عندما يكون عمق المطر أكثر من 10 انج.

وبما إن معدل المجموع السنوي للأمطار = 169.1

$$\text{ملم} = 25.4/169.1 = 0.147 \text{ انج}$$

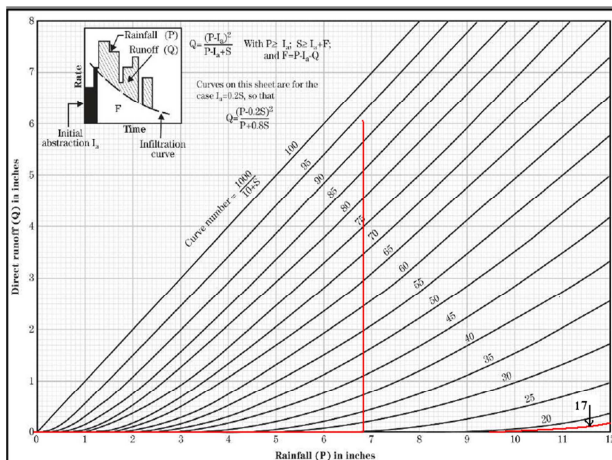
رقم المنحنى (CN) = 17

$$\text{السيل السطحي} = 0 \text{ انج} = 0 \text{ ملم}$$

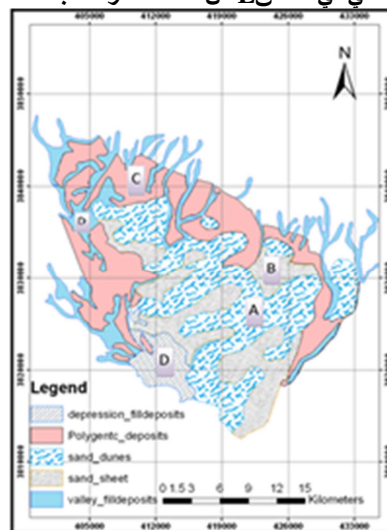
وعليه تصبح المعادلة بالشكل التالي:

$$Ws = 25 + Re + 0$$

$$Re = 44.89 \text{ mm}$$



شكل 9: تخمين السيل السطحي في النطاق E من منطقة الدراسة باستخدام مخطط (Diary, 2008)



شكل 10: يمثل الخريطة الجيولوجية لمنطقة الدراسة موضعًا عليها الانطمة.

ومعدلات تصريف الآبار. أجري الضخ الاختباري على خمسة آبار، واستخدمت طرائق تحليل بيانات الضخ المختلفة لتحديد الخصائص الهيدروليكيّة باستخدام برنامج (Aquifer Win 32)، وحسب طريقة العمل والأمثلة الواردة في الوثائق المرفقة مع البرنامج والتي اعتمدت على المصادر (Theis, 1935; Reed, 1980; Kruseman & Deridder, 1990;

طرائق تحليل معطيات الضخ الاختباري:

لمعرفة الطرائق المثلثي في معالجة بيانات الضخ وتقييم الخصائص الهيدروليكيّة، يتوجب الإلزام بحالة المكمن الجيولوجية والهيدروجيولوجية، وبعبارة أخرى توفر المعلومات عن نوع المكمن، وحالة الجريان، ووجود أو عدم وجود آبار مراقبة، والحدود الهيدروجيولوجية

قراءات عودة المنسوب ومن معالجة بيانات الضخ وجد أن مقدار الناقلة المحسوبة بطريقة ثايس ($284.534 \text{ m}^2/\text{يوم}$) وبطريقة جاكوب ($343.502 \text{ m}^2/\text{يوم}$) وبطريقة ثايس لعودة المنسوب ($394.457 \text{ m}^2/\text{يوم}$) (الشكل-11)، أما قيمة معامل الخزن فكانت بطريقة ثايس (0.000117107)، وبطريقة جاكوب (0.00018163)، أما التوصيلية الهيدروليكيّة لسمك مشبع قدره (33 m فقد بلغت قيمتها بطريقة ثايس ($8.622 \text{ m}/\text{يوم}$) وبطريقة جاكوب ($10.409 \text{ m}/\text{يوم}$)، وبطريقة ثايس لعودة المنسوب ($11.953 \text{ m}/\text{يوم}$).

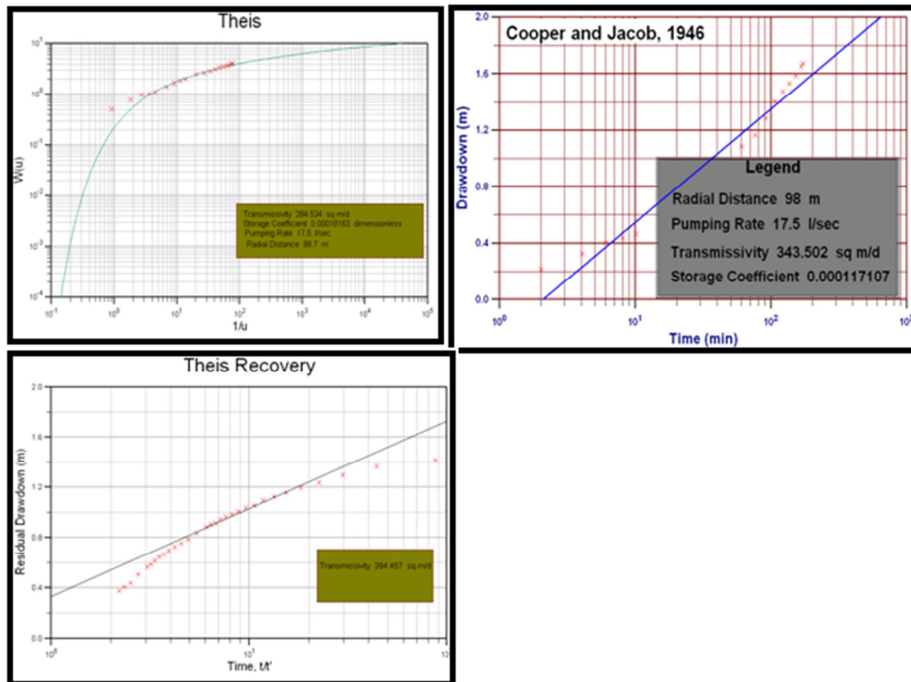
ثايس (Jacob method)، جاكوب (Theis method) وطريقة ثايس لعودة المنسوب

بئر رقم (1) نهار بدر:

تقع هذه البئر شمال منطقة الدراسة، ومعها بئر أخرى للمراقبة على بعد ($798.$ متر)، وتقع في مكافحة العصر الرباعي، العمق الكليّل هذه البئر (120) متر. وتمت عملية الضخ بتاريخ $21/3/2012$ وبتصريف قدره (17.5 لتر/ثا) واستمر الضخ لمدة (169) دقيقة إذ أخذت قراءات الضخ، ثم أوقف الضخ بعد استقرار المنسوب وأخذت

جدول-2: قراءات الضخ التجاريّي وعودة المنسوب في بئر نهار بدر

time (min)	depth (m)	drawdown (m)	time (min)	depth (m)	Residual drawdown (m)
0	60.14	0	171	61.61	1.47
2	60.35	0.21	173	61.55	1.41
4	60.46	0.32	175	61.5	1.36
6	60.54	0.4	177	61.43	1.29
8	60.57	0.43	179	61.37	1.23
10	60.6	0.46	181	61.33	1.19
15	60.72	0.58	183	61.29	1.15
20	60.82	0.68	185	61.26	1.12
25	60.9	0.76	187	61.23	1.09
30	60.96	0.82	189	61.19	1.05
45	61.7	1.56	191	61.17	1.03
60	61.22	1.08	193	61.14	1
75	61.3	1.16	195	61.12	0.98
90	61.42	1.28	197	61.1	0.96
105	61.54	1.4	199	61.08	0.94
120	61.61	1.47	201	61.05	0.91
135	61.67	1.53	203	61.04	0.9
150	61.72	1.58	205	61.02	0.88
165	61.79	1.65	210	60.97	0.83
169	61.81	1.67	215	60.92	0.78
			220	60.89	0.75
			225	60.86	0.72
			230	60.83	0.69
			235	60.8	0.66
			240	60.78	0.64
			245	60.75	0.61
			250	60.72	0.58
			255	60.7	0.56
			270	60.64	0.5
			285	60.57	0.43
			300	60.54	0.4
			315	60.51	0.37

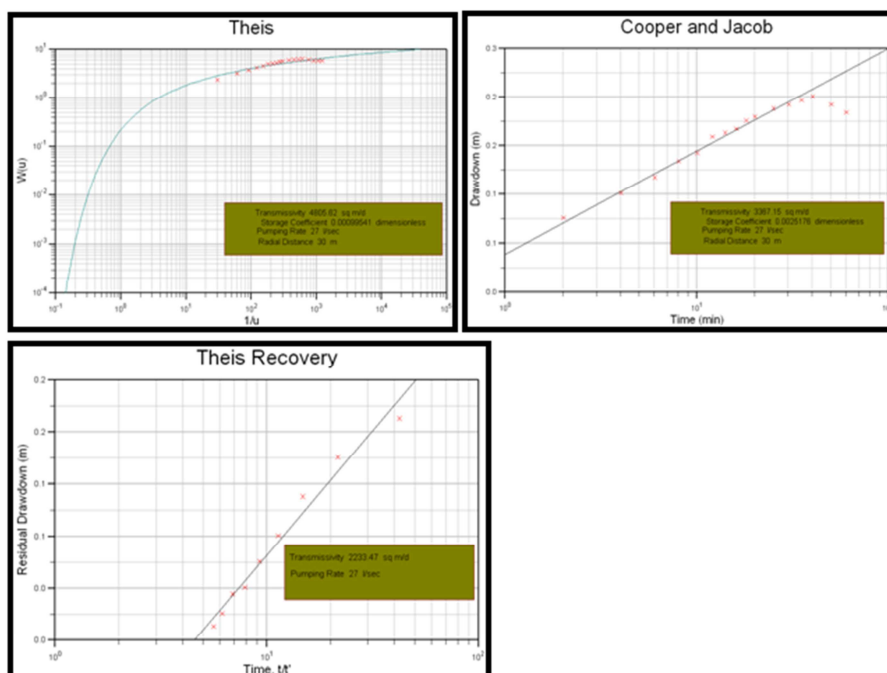


شكل-11: يمثل نتائج الضخ الاختباري بطريقة ثايسوجاكوب وثايس لعودة المنسوب لبئر نهار بدر.

الضخ وجد أن مقدار الناقلة المحسوبة بطريقة ثايس (3387.15) $\text{m}^2/\text{ يوم}$ ، وبطريقة جاكوب (4805.82) $\text{m}^2/\text{ يوم}$ وبطريقة ثايس لعودة المنسوب (2233.47) $\text{m}^2/\text{ يوم}$ (شكل-12)، أما قيمة معامل الخزن فكانت بطريقة جاكوب ثايس (0.00099541)، وبطريقة (0.0025176)، أما التوصيلية الهيدروليكة لسمك مشبع قدره (34) م فقد بلغت قيمتها بطريقة ثايس (141.34) $\text{م}/\text{ يوم}$ ، وبطريقة جاكوب (99.62) $\text{م}/\text{ يوم}$ ، وبطريقة ثايس لعودة المنسوب (61.377) $\text{م}/\text{ يوم}$.

2- بئر رقم (2) طالع هليل:

تقع هذه البئر وسط منطقة الدراسة، ومعها بئر أخرى للمراقبة على بعد (30) متر، وتقع في مكافف العصر الرباعي، العمق الكلي للبئر (84) متر. وتمت عملية الضخ على هذا البئر بتاريخ 20/3/2012 وبنطريق قدره (27) لتر/ثا واستمر الضخ لمدة (80) دقيقة إذ أخذت قراءات الضخ، ثم أوقف الضخ بعد استقرار المنسوب وأخذت قراءات عودة المنسوب ومن معالجة بيانات



شكل-12: يمثل نتائج الضخ الاختباري بطريقة ثايسوجاكوب وثايس لعودة المنسوب لبئر طالع هليل.

جدول-3: قراءات الضخ التجاري وعودة المنسوب في بئر طالع هليل.

time (min)	depth (m)	drawdown (m)	time (min)	depth (m)	Residual drawdown (m)
0	40.92	0	82	41.14	0.22
2	41.01	0.09	84	41.115	0.195
4	41.04	0.12	86	41.9	0.98
6	41.06	0.14	88	41.6	0.68
8	41.08	0.16	90	41.3	0.38
10	41.09	0.17	92	41	0.08
12	41.11	0.19	94	40.98	0.06
14	41.115	0.195	96	40.96	0.04
16	41.12	0.2	98	40.955	0.035
18	41.13	0.21	100	40.94	0.02
20	41.135	0.215	102	40.93	0.01
25	41.145	0.225	104	40.92	0
30	41.15	0.23			
35	41.155	0.235			
40	41.16	0.24			
50	41.15	0.23			
60	41.14	0.22			
70	41.14	0.22			

الاسرار كما في (جدول 5). وبعدها 80 دقيقة من بدء عملية الضخ

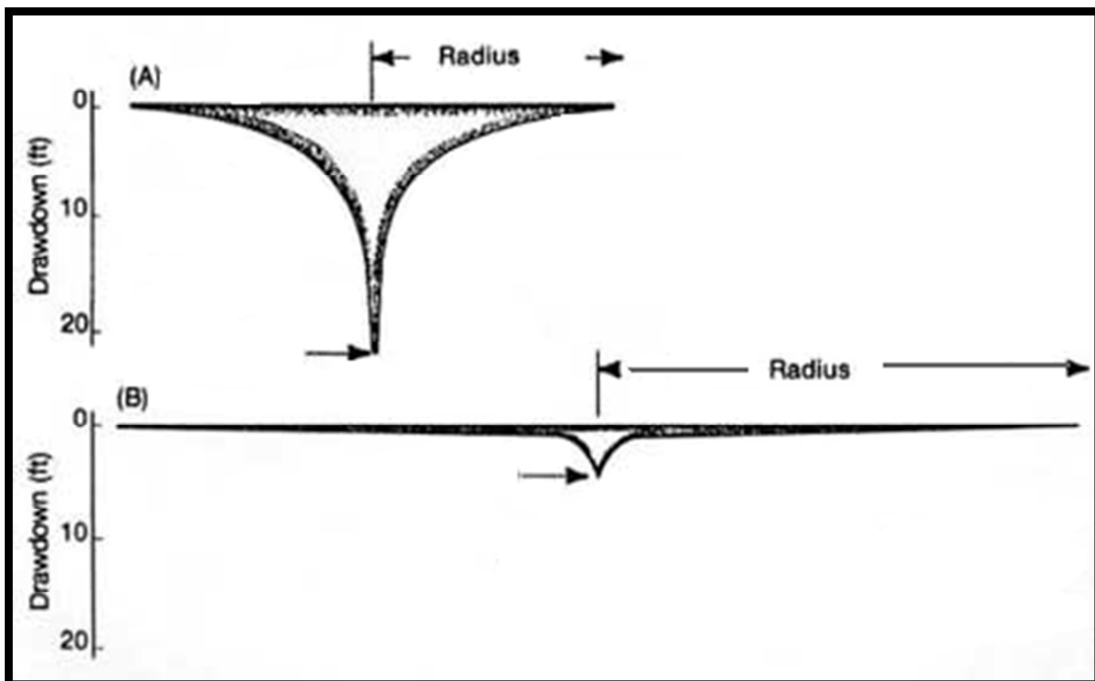
من بئر الضخ إذ لوحظ إن هناك انخفاض ضئيل للمنسوب، استقر المنسوب بعد (55) دقيقة من بدء الضخ ثم أوقفت التجربة بعد استقرار المنسوب وأخذت قراءات عودة المنسوب (جدول 6) إذ بقي المنسوب مستقراً حتى بعد مرور (10) دقائق من إطفاء المضخة وهذا يدل على إن الناقلة ومعامل الخزن عاليين، وفي هذه الحالة فان شكل مخروط الانخفاض يكون واسع ومتبسط إما عندما تكون قيمة الناقلة ومعامل الخزن واطئين للخزان فأن شكل مخروط الانخفاض يكون حاد وضيق شكل(13)، ولوحظ من معالجة بيانات الضخ وجد أن مقدار الناقلة المحسوبة بطريقة ثايس ($2902.79 \text{ m}^2/\text{ يوم}$ ، وبطريقة جاكوب ($2919.04 \text{ m}^2/\text{ يوم}$) شكل (14) أما قيمة معامل الخزن فكانت بطريقة ثايس (0.00331653)، وبطريقة جاكوب (0.00335984)، أما التوصيلية الهيدروليكيه لسمك مشبع قدره (50) م فقد بلغت قيمتها بطريقة ثايس ($58.055 \text{ m}/\text{ يوم}$ ، وبطريقة جاكوب ($58.38 \text{ m}/\text{ يوم}$ ، وبطريقة ثايس لعودة المنسوب ($41.37 \text{ m}/\text{ يوم}$).

3- بئر رقم (3) حميد مطاك:

تقع هذه البئر في قرية الحدادية ، ومعها بئر أخرى للمراقبة على بعد (51) متر، وتقع في مكافف تكوين انجانه، العمق الكلي للبئر (200) متر. وتمت عملية الضخ على البئر بتاريخ 20/3/2012 وبتصريف قدره (8) لتر/ثا واستمر الضخ لمدة (120) دقيقة إذ لوحظ خلال عملية الضخ ارتفاع المنسوب في بئر المراقبة مع بداية الضخ من بئر الضخ وهذه الحالة مخالفة للمنطق الهايدرولوجي وتمأخذ قراءات تغاير المنسوب مع الضخ ثم عاد المنسوب للانخفاض بعد 8 دقائق من الضخ كما في (جدول-4)، وهذه الحالة توحى إلى أن المنسوب مازال غير مستقر بسبب كون بئر المراقبة في الأساس هو بئر ضخ وتم إيقاف الضخ فيه لاستخدامه كبئر مراقبه وقد يكون إثناء التجربة لازال في وضع استرجاع المنسوب بسبب فتره الضخ السابقة (قبل التجربة) لذا تم إعادة تجربة الضخ الاختباري عليه بتاريخ 31/8/2012 إذ تمت مراقبة استقرار المنسوب في بئر المراقبة قبل بدء الضخ حتى استقر المنسوب وأخذت قراءات

جدول-4: قراءات الضغط الاختباري لبئر حميد مطلوب بتاريخ 20/3/2012، وقراءات مراقبة استقراره في نفس البئر قبل الضغط في التجربة الثانية.

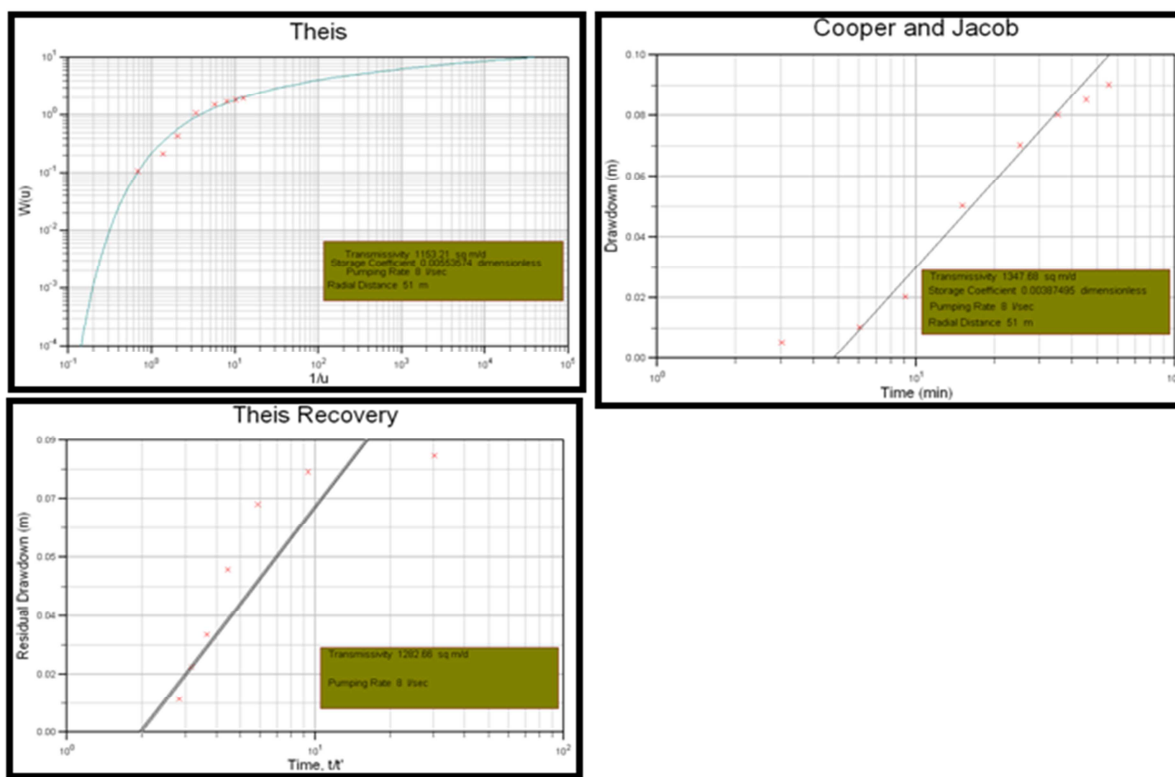
قراءات مراقبة استقرار		بتاريخ 20/3/2012	
time(min)	depth	time(min)	Depth
0	42.92	0	41.430
5	42.86	2	41.415
15	42.8	4	41.410
20	42.76	6	41.420
25	42.72	8	41.432
30	42.68	10	41.440
35	42.64	15	41.450
40	42.61	20	41.460
45	42.58	25	41.470
50	42.55	30	41.480
55	42.53	35	41.490
60	42.51	40	41.490
65	42.49	60	41.490
70	42.47	80	41.490
75	42.44	100	41.490
80	42.43	120	41.490
90	42.4		
100	42.35		
110	42.32		
120	42.3		
130	42.28		
140	42.26		
150	42.25		
160	42.24		



شكل-13: يمثل شكل مخروط الانخفاض. (A) يكون حاد وضيق عندما تكون قيمة الناقلة ومعامل الخزن واطنين. (B) يكون واسع ومنبسط عندما تكون قيمة الناقلة ومعامل الخزن عالين.

جدول-5: قراءات الضخ التجاري وعودة المنسوب في بئر حميد مطلك.

time (min)	depth (m)	drawdown (m)	time (min)	depth (m)	Residual drawdown (m)
0	42.24	0	56	42.33	0.09
3	42.245	0.005	58	42.33	0.09
6	42.25	0.01	60	42.325	0.085
9	42.26	0.02	65	42.32	0.08
15	42.29	0.05	70	42.31	0.07
25	42.31	0.07	75	42.29	0.05
35	42.32	0.08	80	42.27	0.03
45	42.325	0.085	85	42.26	0.02
55	42.33	0.09	90	42.25	0.01



شكل_14: يمثل نتائج الضخ الاختباري بطريقة ثايس وجاكوب وثايس لعودة المنسوب لبئر حميد مطلك

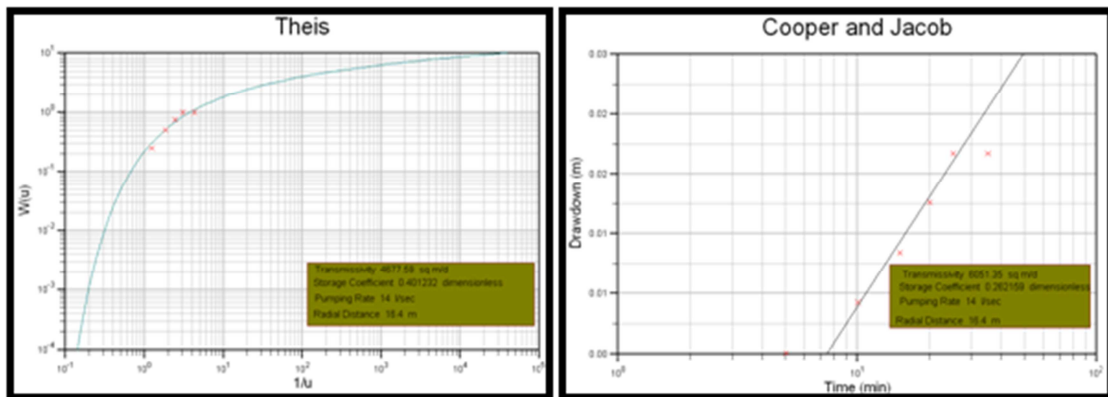
وتم البدء بالضخ ومراقبة المنسوب مجدداً كما في (جدول-6) حيث لوحظ تكرار نفس الحالة السابقة وهي عدم حدوث هبوط واضح بالمنسوب بالرغم من إن المراقبة قريب جداً ومن معالجة البيانات تبين أن الناقلة المحسوبة بطريقة ثايس هي (4677.59) وبطريقه جاكوب (6051.35) ومعامل الخزن بطريقة ثايس (0.401238) وبطريقه جاكوب (0.262159). أما التوصيلية الهيدروليكيه لسمك مشبع قدره (34) م فقد بلغت قيمتها بطريقة ثايس (137.57) م/يوم، وبطريقه جاكوب (177.98) م/يوم، شكل (15) وهذا يدل على إن قيمة الناقلة ومعامل الخزن عاليين للخزان إذ يكون شكل مخروط الانخفاض واسعاً ومنبسطاً شكل (13) وإن الأرقام تؤدي إلى خزان جوفي غير محصور.

4- بئر رقم (4) زكام فراح:

تقع هذه البئر في قرية تل كصبيه ، ومعها بئر أخرى للمراقبة على بعد (16.4) متر، وتقع في مكافف تكون انجاناه، العمق الكلي للبئر 190متر. وتمت عملية الضخ عليه بتاريخ 21/3/2012 وبتصريف قدره (27) لتر/ثا واستمر الضخ لمدة 35 دقيقة إذ لوحظ خلال عملية الضخ انخفاض المنسوب بشكل ضئيل فقط في بداية الضخ وبعدها استقر المنسوب ولمدة 25 دقيقة في بئر المراقبة مع استمرار الضخ، وهذه الحالة مخالفة للمنطق الهيدرولوجي لذا تم إعادة تجربة الضخ الاختباري على البئر بتاريخ 30/8/2012 إذ تمت مراقبة استقرار المنسوب في بئر المراقبة قبل بدء الضخ حتى استقر،

جدول 6: قراءات الضخ التجاري وعودة المنسوب في بئر زكام فراح.

time (min)	depth (m)	drawdown (m)	time (min)	depth (m)	Residual drawdown (m)
0	43.18	0	41	43.2	0.02
5	43.18	0	42	43.2	0.02
10	43.185	0.005	43	43.2	0.02
15	43.19	0.01	45	43.2	0.02
20	43.195	0.015	47	43.2	0.02
25	43.2	0.02	50	43.2	0.02
35	43.2	0.02			
40	43.2	0.02			



شكل 15: نتائج الضخ الاختباري بطريقه ثايس وجاكوب لبئر زكم

- المائية تذهب لتغذية المياه الجوفية ماعدا ما يتجز على شكل رطوبة تربة في بعض انتقه الدراسة.
- 2- التتابع الطبقي لأبار منطقة الدراسة تتكون من طبقات عليا من الفنتانيات التي تعود إلى العصر الرباعي (البليستوسين) في حين تعود الطبقات التي تحتها إلى تكوين انجانه وتتكون من طبقات الرمل والرمل الخشن والحسبي الناعم تفصله عن الطبقات العلوية طبقات غير مسامية من الطينين الغرين غير المسامي.
- 3- عملت الكثبان الرملية كحد هيدروجيولوجي داخلي للحوض ككل من خلال تحكمها بتغذية المياه الجوفية.
- 4- أوجت نتائج الخصائص الهيدروليكيه إلى تباين ظروف الخزانات الجوفية من موقع إلى آخر حيث يكون الخزان الرئيس شبة محصور مع ظهور خزان ثانوي غير محصور أحيانا وهذا ما أكدته المقاطع الليثولوجية لأبار منتخبة في منطقة الدراسة.
- 5- يكون الانخفاض خلال تجارب الضخ الاختباري قليلاً وهذا يوحي إلى نقلية عالية للخزانات الجوفية وبالتالي يكون الامتداد الأفقي لمخاريط الانخفاض واسعاً وضيقاً وبالتالي تكون عودة المنسوب بطيئة وهذا لوحظ في معظم أبار منطقة الدراسة التي أجريت عليها تجارب الضخ الاختباري.

5- بئر رقم (5) عايد رعد:

تقع هذه البئر في قرية الحسان، ومعها بئر أخرى للمراقبة على بعد (60) متر، وتقع في مكافف تكوين انجانه، العمق الكلي لهذه البئر (63) متر. وتمت عملية الضخ بتاريخ 21/3/2012 وبتصريف قدره 15 لتر / ثا واستمر الضخ لمدة (60) دقيقة إذ لوحظ خلال عملية الضخ ارتفاع المنسوب في بئر المراقبة مع استمرار الضخ وهذه الحالة مخالفة للمنطق الهيدروجيولوجي، وتمأخذ قراءات تغير المنسوب مع الضخ كما حصل في مما تقدم يمكن الحصول بمحصلة نهاية توحى إلى خصائص هيدروليكيه ذات قيمة عالية من حيث الناقلة ومعامل الخزن والايصالية الهيدروليكيه وخصوصا في الخزان غير المحصور. إما في الخزان الثاني فإن الأرقام توحى إلى ظروف الخزان شبه المحصور، والى التعويض السريع في حالة استمرار الضخ لاستثمار الماء الجوفي. وهذا يعد عملاً مشجعاً لزيادة من حفر الآبار لأجل الاستثمار وان الخزان لم يصل إلى حالة الاستنزاف بعد.

الاستنتاجات:

- 1- تتحكم العوامل الجيومورفلوجية بتغذية المياه الجوفية كونها العامل المسيطر على السيف السطحي والذي يعتمد على الخصائص التصريفية لشبكة الوديان ويقاد يكون السيف السطحي معدوماً، وان بعض الزيادة

جدول-7: المعلمات الهيدروليكيّة للأبار التي خضعت لعملية الصيغة الافتراضيّة

No of Well	Name of Well	UTM (m)		Elevation (m)	Transmissivity T (m ² /day)		Storage coefficient S	Hydraulic Conductivity (m/day)K	
		x	y		Theis Pump	Jacob Recovery		Theis Pump	Jacob Pump
1	نهر بدر	408864	3838752	210	284.534	394.457	343.502	0.00018163	0.000117107
2	طاعم طيل	416835	٩٨٢٠٧٢٤	151	4805.82	2233.47	3387.15	0.00099541	0.0025176
3	عبد مطلب	422898	3835293	192	2902.79	2068.81	2919.04	0.00331653	0.00335984
4		3838335	213	4677.59		6051.35	0.401238	0.262159	137.57
									177.98

الباب (Core) في الآبار الاستكشافية.

المصادر:

- الطخطوط، نوفل حسن علي 2011. الظروف الهيدروجيولوجية لحوض بييجي- تكريت غرب نهر دجلة الثاني، قسم علوم الأرض التطبيقية، كلية العلوم، جامعة تكريت، رسالة ماجستير (غير منشورة)، ص 174.
- الجبوري، محمد عبد الفتاح علي شرار 2011. تقييم الظروف الهيدروجيولوجية، وبناء الموديل الرياضي للمكامن الجوفية في موقع سد الحضرة المقترن، قسم علوم الأرض التطبيقية ، كلية العلوم، جامعة تكريت، رسالة ماجستير ص 170.
- الجنابي، محمود عبد الحسن جوبيه 2008. هيدروكيميائية الخزان الجوفي المفتوح وعلاقة مياهه برسوبيات النطاق غير المشبع في حوض سامراء- تكريت (شرق دجلة)، قسم علوم الأرض التطبيقية، كلية العلوم، جامعة بغداد، رسالة دكتوراه (غير منشورة)، ص 154.
- العاني، احمد عبد الله 1997. الاستثمار الأمثل للمياه الجوفية لحوض الفتحة - سامراء ، جامعة بغداد - كلية العلوم ، رسالة ماجستير (غير منشورة) ص 114.
- النعمي، فصل حمادي علي 2010. دراسة ونمذجة المكامن الجوفية في الجزء الأوسط من حوض سهل نينوى الشرقي، قسم علوم الأرض، كلية العلوم، جامعة الموصل، أطروحة دكتوراه (غير منشورة)، ص 155.

التوصيات:

- 1- حفر آبار اختبارية لغرض تقييم الخزانات الجوفية كل على انفراد من خلال عزل الخزانات المنتجة ليكون الضخ من الخزان المستهدف بالتقييم فقط وكذلك تقييم الخصائص النوعية لكل خزان على حده .
- 2- يفضل حفر الآبار الاختبارية في المناطق التي تكون فيها كثافة الآبار قليلة ولاسيما الجزء الجنوبي الغربي من منطقة الدراسة .
- 3- دراسة رسوبية طباقية للترسبات الحصوية التي أدرجت ضمن تكوين الفتحة لمعرفة عمرها وظروف ترسيبها وبالتالي وضعها الطباقى .
- 4- دراسة المسامية والنفاذية للطبقات الحاملة للماء بنمذجتها على شكل لباب تحت سطحي .
- 5- التأكيد على جميع الجهات التي تقوم بالحفر سواء كانت الهيئة العامة للمياه الجوفية او شركة المسح الجيولوجي او شركات ومكاتب الحفر الأهلية على عدم اعتماد الفحص الميداني الأولي لنماذج فنات الحفر وإنما إجراء تحليل حجمي قياسي للرسوبيات ويفضل نمذجة

Museum, Brno, 341 P.

- Kruseman, G.P. and Deridder, N.A., 1979. Analysis and Evaluation of Pumping test Data, Int. Inst. Forland Reclamation and Improvement, 209P
- Parsons Company, 1955: Groundwater Resources of Iraq, Volume 3, Baiji Samarra Area, Development Board, Ministry of development, 74p
- Reed, J.E., 1980. Type Curves for Selected Problems of Flow to Wells in Confined Aquifers, USGS Techniques of Water-Resources Investigations, Book 3, 106 pp.
- Theis, C.V., 1935. The Relation Between the Lowering of the Piezometric Surface and the Rate and Duration of Discharge of a Well Using Groundwater Storage, Trans. Amer. Geophys. Union, Vol. 16, pp. 519-524.
- Thornthwaite, C. W. 1948: An approach towards a national classification of climate Geographical Review, Vol. 38, pp.55.
- Todd, D.K. 1980: Ground Water Hydrology, Znd .Ed., John Wiley, NewYork,535p
- Wilson, E.M., 1974. Engineering hydrology, 2nd. Ed., McMillan Press Ltd., London, 232P.
- Todd, D. K., 2005: Groundwater Hydrology (3 edition).John Wiley and Sons New York, USA,650p.
- Walton,W.C. 1970: Groundwater Resources Evaluation, McGraw-Hill Series in Water Resources and Environmental Engineering, New York, 664P 341p.
- Wilson, E.M., 1974. Engineering hydrology, 2nd. Ed., McMillan Press Ltd., London, 232 P.